

Ba Y

Ba.Y

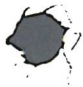
Walter O.H., Barnat & A.S.I. 1528

Proc. Roy. Soc., London A, 118, 120

Enchelopsis transversa got regular zonation  
in the uppermost zones.

Paracardiacanthus meneghinii was first  
seen in the uppermost zones. Ba.Y. is described.  
It probably belongs to the same family  
as well. Ba.Y.

Hab., I, 69



BaY

Message p.

1939

Ann. Phys. Paris, 12, 5

Исследование разлагающихся вакуум-  
ных явлений и их изучение в микр-  
кубиковой стеклопаковке.

В разлагающейся вакууме  
в диапазоне 5370-5611 Å получено  
семьих зеер. Каждое из семи  
зенов не приносит ~~помехи~~

Hob. II. 66

~~N-70~~

~~RECORDED~~

V 70

1954

BeBr, BeJ, MgJ, BaJ, BJ, GaH ( Z, D<sub>0</sub> )

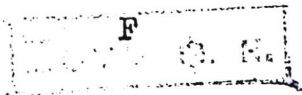
Margrave J.L.

J.Phys.Chem., 1954, 58, N 3, 258-60

Binding energies of gaseous  
diatomic hydrides and halides of  
group II and group III metals.

M, J

PX., 1955, 89



Bar

Varshni V.P.,  
Majumdar K.

1955

Секундомер. постро-  
енное мат-л.

(ав. SiO) III

1957

A-480

 $ZnX, CdX, HgX, BaX, MgX,$  $CaX, SrX, BeX(r)$  $X=F, Cl, Br, J$ 

$r_{x-y}$  (Фториды, хлориды, бромиды и йодиды:  
 $Be, Mg, Ca, Ba, Zn, Cd, Hg$ )

Акишин П.А., Спиридонов В.П.

Кристаллография, 1957, 2, №4, 475-83.

Электронографическое исследование строения  
молекул галогенидов элементов II группы  
периодической системы Менделеева.

RX, 1958, N14, 45628. J

IX -1026

1962.

Гипогениды ищетно-зел. металлов  
(D)

Brackett T.E., Brackett E.B.,

J. Phys. Chem., 1962, 66, 1542-1543

10

РУСХ, 1963, 14543

1962

Ва 3

Краснов К.С., Шамшитов А. Н.

изделия из-  
делий. Газеты  
коэффициентов.

М. Струков. Журнал, 1962, № 3, № 6,  
703.

Применение изогнутой моде-  
ли для расчета коэффици-  
ентов изгиба газогенераторов  
из язвенных металлов.  
  
(см. лев) III

Х-1963-14

1963

IX - 1032

Изотопные и изотопно-химические  
элементы ( $\text{O}_2$ , период. ф-ции)

Краснов К.С., Ибрагимов В.И.

Уф. физико-хим. заведений

Химия и химич. технологии,  
1963, 6, №1, 164-170

CA, 1963, 59, №4, 3368. II, 10

Ba J

отмеч 198

1964

Гаркави О. Г.

Демкина И. Е.

№ структ. химии

1964, 5, №3, 451-4

14 2627

1965

MgF, MgCl, MgBr, MgI, CaF, CaCl,  
CaBr, CaI, SrF, SrCl, SrBr, SrI,  
BaF, BaCl, BaBr, BaI (3)

Краснов Е.С.,

Микрофизика быстрых нейтронов  
СНК СССР, 1965, 3(6), 927-8 10

с.т., 1966, №4, №8, 104170

�� թ պ ա լ լ

Баг

Краснов К. С.

1965

Караёва Н. В.

№

(14)

Онн. и спектр., 1965, XIX,  
N1, 30.

БР - 2629-41

О пересмотре спектроскопи-  
ческих энергий гибридиза-  
ции субвалентных групп

II а.

(см. Вef) III

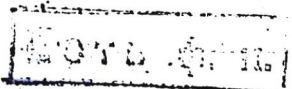
IX 2414

1965

$\text{Ba}^+$ ,  $\text{BaI}^+$ ,  $\text{BaI}_2$ ,  $\text{Cs}^+$ ,  $\text{CsI}^+$ ,  $\text{CsI}_2^+$  (A, P).  
 $\text{BaI}_2$ ,  $\text{CsI}$ ,  $\text{Cs}_2\text{I}_2$  ( $\Delta H^\circ$ ,  $\Delta F_V^\circ$ ,  $\Delta S_V^\circ$ )

Winchell P.,

Nature, 1965, 206, 14990; 1252



P.T., 1965, 63, N6, 64472

Ба 7

(21)-  
М 2356-1  
БСР -  
1-  
БСР

Кончева А. Т.

1967

Чб. В43. дигитка, № 4, 91.  
10/1967

О применении метода  
дигитации для подбора  
к ограничению неисхо-  
дных изображений ве-  
нческа.

(ав. БТ) III

BaY - Hastie Y.W., Barronave 1967-68  
y, L.

Почищущие колен-

-удары и почки

-новые зеленые

зеленющие листья

зеленые

лев-стик

an Lit, III

BaJ.

~1968

J. D.

June 16-01

J.W.Hastie J.L.Margrave.  
"Dep.of Chem., Rice  
University Houston, Texas 77001.  
p I-50.

Бз 9

Ковалевский З.В.

1968

Ул. ВУЗ, д. 13а, л. NS, 130

серебро  
масло  
исследований

(авт. Нак) III

BaJ

ВЧ-3006-1X

1970

10 Б95. Эмиссионный спектр молекулы BaJ Рател M. M., Shah N. R. Emission spectrum of BaJ molecule. «Indian J. Pure and Appl. Phys.», 1970, 8, № 10, 681—682 (англ.)

Исследован эмиссионный спектр молекулы BaJ, образованный в ВЧ-разряде через BaJ<sub>2</sub>. Идентифицирована колебательная структура систем полос электронных переходов  $E^2\Sigma \rightarrow X^2\Sigma$  ( $v_e = 26755,35$ ),  $D^2\Sigma \rightarrow X^2\Sigma$  ( $v_e = 25777,36$ ) и  $C^2\Pi \rightarrow X^2\Sigma$  ( $v_e = 17819,51$  и  $18572,60 \text{ см}^{-1}$ ). Определены значения частоты  $\omega_e'' = 151 \text{ см}^{-1}$ ,  $\omega_e' = 156—173 \text{ см}^{-1}$  и постоянной ангармоничности  $\omega_e''\chi_e'' = 0,35—0,62 \text{ см}^{-1}$ ,  $\omega_e'\chi_e' = 0,31—0,65 \text{ см}^{-1}$ .

М. Р. Алиев

Эмиссионный  
спектр

— XI. 1971. 10

BaY

BgP-3006-1K

1970

(105228m) Emission spectrum of barium iodide molecule.  
Patel, Madhubhai M.; Shah, N. R. (Fac. Sci., M.S. Univ.  
Baroda, Baroda, India). *Indian J. Pure Appl. Phys.* 1970,  
8(10), 681-2 (Eng). The emission spectrum of BaI mol. has  
M.N. been photographed by using a high-frequency discharge, at a  
dispersion of  $\sim 7.3 \text{ \AA/mm}$  with a plane grating spectrograph.  
Two new systems of bands have been analyzed and their vi-  
brational consts. have been evaluated for the 1st time. The  
vibrational consts. of the previously known system have also  
been reevaluated.

RCXZ

C.d. 1971.44.20.

Ba I

1970

60912) Emission spectrum of barium monoiodide in the ultraviolet. Reddy, B. R. K.; Rao, P. Tiruvenganna (Spectrosc. Lab., Andhra Univ., Waltair, India). *J. Phys. B* 1970, 3(7), 1008-10 (Eng). The band spectrum of BaI is excited in a high-frequency discharge through a mixt. of heated Ba and I vapor. The spectrum has shown the existence of a no. of well-developed single headed bands  $\lambda\lambda$  3650-3950 Å degraded to shorter wavelengths. These bands are analyzed and attributed to  $D\ ^2\Sigma - X\ ^2\Sigma$  and  $E\ ^2\Sigma - X\ ^2\Sigma$  transitions.

RCBS

Dr. Mukop

C.A. 1970

73.12

BaJ

1870

2 Д371. Спектр излучения моноиодида бария в УФ-области. Reddy, B. R. K., Rao P. T. The emission spectrum of barium monoiodide in the ultraviolet. «J. Phys. B: Atom. and Mol. Phys.», 1970, 3, № 7, 1008—1010 (англ.)

В эмиссионном спектре BaJ, возбуждаемом ВЧ-разрядом в смеси нагретых паров бария и иода, в области 3650—3950 Å обнаружены две новые системы полос, отнесенные к переходам  $D^2\Sigma - X^2\Sigma$  и  $E^2\Sigma - X^2\Sigma$ . Приведены длины волн голов новых полос и колебательные константы состояний  $D^2\Sigma$ ,  $E^2\Sigma$  и  $X^2\Sigma$ . Библ. 4. И. Дворников

бискир  
чиргачий

09. 1971. 28

X<sup>h2</sup>

$\omega_c \approx 163,5$

$\omega_{\text{exp}} = 0,6$

$D_R \approx 11.000 \pm 1,4$

-CaI, SrI, BaI (D<sub>0</sub>) 18 Nov 1972

Nims Ch. A., Lin Sh.-M., Heim R.R.,  
J. Chem. Phys., 1972, 57, N8, 3099-  
-3103 (arev.)

Crossed beam collision mechanics: reactions of Ca, Sr, and  
Ba with H<sub>I</sub> and limits on D<sub>0</sub><sup>o</sup>  
for CaI, SrI, and BaI. 4

J. Chem. Phys., 1973, 3D310

140M \$

Вау

УзД369. Измерение сечения фотоионизации BaI в спектральной области 2400—2100 Å методом атомного пучка. Schulte Herbert. Messung des Photoionisationsquerschnitts von Ba I im Spektralbereich von 2400—2100 Å mit einer Atomstrahlmethode. Diss., Dokt. Fak. Allg. Wiss. Techn. Univ. München, 1972. 67 S., ill. (нем.)

1972.

Определена абс. величина сечения фотоионизации бария в диапазоне 2400—2100 Å. Измерения производились с использованием ат. пучка, пересекаемого пучком УФ-излучения. Образованные при фотоионизации ионы  $\text{Ba}^+$  и электроны регистрировались двумя электронными умножителями открытого типа, работающими в режиме счета импульсов. Интенсивность ат. пучка бария измерялась на колебательных кварцевых вешах. Для определения интенсивности УФ-излучения использован калиброванный флуоресцентный детектор. Достигнутое спектральное разрешение, равное 6 Å, недостаточно для разделения всех наблюдавшихся в данной спектральной области автономизационных линий поглощения бария. Измерена упругость паров Ba в диапазоне т-р 560÷770° С. Пробедено сравнение полученных результатов с данными других исследователей. Библ. 112.

9р. 1973.

№3.

Л5

1972

BaJ

✓ 2 Д367. Новая система полос молекулы BaJ в области 4300—4500 Å. Shah S. G., Patel M. M., Darji A. B. A new band system of molecular BaJ in the region  $\lambda$ 4300— $\lambda$ 4500 Å. «J. Phys. B: Atom. and Mol. Phys.», 1972, 5, № 9, L191—L192 (англ.)

Спектр излучения молекулы BaJ возбуждался с помощью ВЧ-разряда в кварцевом капилляре. Помимо известных ранее систем полос в области 4300—4500 Å обнаружена слабая новая система, состоящая из двух групп полос с красным оттенением. На основании анализа колебательной структуры система отнесена к переходу между возбужденными состояниями  $^2\Pi$  и  $E^2\Sigma$ . Уточнены значения колебательных констант состояния  $E^2\Sigma$ . Библ. 5.

В. Александров

Резср. 1973·2

BaI.

1972

(M.R.)

132674x New band system of molecular barium iodide in the region  $\lambda 4300-\lambda 4500 \text{ \AA}$ . Shah, S. G.; Patel, M. M.; Darji, A. B. (Fac. Sci., Maharaja Sayajirao Univ. Baroda, Baroda, India). *J. Phys. B* 1972, 5(9), L191-L192 (Eng). The spectrum of mol. BaI was excited in a high-frequency discharge source and photographed in the 2nd order of a plane grating spectrograph at a dispersion of  $3.5 \text{ \AA/min}$ . The existence of a new band system in the region  $4481-4300 \text{ \AA}$  was established and an anal. carried out. The nature of the electronic transitions involved are discussed.

C.A. 1972. 77.20

Bay

Danmark 5010.

1973

Cruise H.W.; et al.

(u.n)

Farad. Disc. Chem.

Ser., 1973, (55), 277-92

~~отдел 4974~~

~~50504.3821~~

~~TC, Ch, Ph~~

~~WEN~~

40392

1975

Ba Y (u.n.)

44-8823

Bradford R.S., Jr, Jones C.R., Southall

L.A. Broida H.P.

Production efficiencies of electronically excited states of barium monohalides.

"J.Chem. Phys.", 1975, 62, N 6, 2060-2064

(csl. BaF, II) (англ.)

Бер-4900-IX

0356 ПИК

329 334 0348

ВИНИТИ

Bat 3      omnivore 4210      1975

Sri Lanka S.S.L.

(D.)

Indian J. Pure and  
Appl. Phys., 1975,

13 v7,

480-82

| BeBr : III )  
| Cu. LiF : III )

1976

BaJ

2 Б128. Исследование колебательных состояний нерелаксированного BaJ, образующегося при реакциях  $Ba + CH_3J$  и  $Ba + CH_2J_2$ . D ag d i g i a n P. J., C g i s e H. W., Z a r e R. N. Vibrational state analysis of unrelaxed BaJ from the reactions  $Ba + CH_3J$  and  $Ba + CH_2J_2$ . «Chem. Phys.», 1976, 15, № 2, 249—260 (англ.)

*спектр флуоресценции*

В спектре флуоресценции, индуцированной лазерным излучением, измерено распределение интенсивности по колебательным состояниям полосы  $C^2\Pi - X^2\Sigma^+$  в области длин волн от 5300 до 5600 Å молекулы BaJ, образованной в результате одной из трех р-ций  $Ba + CH_3J \rightarrow BaJ + CH_3(1)$ ,  $Ba + CD_3J \rightarrow BaJ + CD_3$  или  $Ba + CH_2J_2 \rightarrow BaJ + CH_2J(2)$ . По распределению интенсивности в спектрах возбуждения BaJ для различных р-ций вычис-

X 1977 № 2

лены относит. заселенности колебательных состояний с колебательными числами вплоть до  $v=50$ . Для р-ций (1) и (2) наиболее вероятными колебательными уровнями являются  $v=21$  и  $v=39$ , соотв. По данным об интегральной интенсивности флуоресценции определено, что относит. полное поперечное сечение для образования BaJ в р-ции (2) в 1,9 раза выше, чем в р-ции (1). Попытки обнаружить по флуоресценции в области от 4400 до 5600 Å молекулу BaJ<sub>2</sub> в кач-ве продукта исследованных р-ций не привели к положит. результату.

С. Н. Мурзин

BaJ

1976

1 Д359. Анализ заселенности колебательных состояний нерелаксированных молекул BaJ, образующихся в реакциях  $Ba + CH_3J$  и  $Ba + CH_2J_2$ . D a g d i g i a n P. J., C r u s e H. W., Z a r e R. N. Vibrational state analysis of unrelaxed BaJ from the reactions  $Ba + CH_3J$  and  $Ba + CH_2J_2$ . «Chem. Phys.», 1976, 15, № 2, 249—260 (англ.)

спектры  
возбуждения  
(н, н)

Реакции  $Ba + CH_3J \rightarrow BaJ + CH_3$  и  $Ba + CH_2J_2 \rightarrow BaJ + CH_2J$  исследованы методом лазерно-индуцированной флуоресценции. Спектры возбуждения молекул BaJ получены в условиях отсутствия столкновений. (Пучок атомов Ba рассеивается на молекулах газа при давле-

раз.  
го чеј  
дану

ф. 1977 № 1

нии  $(3-30) \cdot 10^{-5}$  мм рт. ст.). Установлено, что при столкновении Ba с  $\text{CH}_2\text{J}_2$  основной реакцией является реакция с образованием BaJ. Сечение реакции  $\text{Ba} + \text{CH}_2\text{J}_2 \rightarrow \text{BaJ} + \text{CH}_2\text{J}$  в 2 раза превосходит сечение аналогичной реакции для  $\text{CH}_3\text{J}$ . Показано, что относительная заселенность колебательных уровней молекул BaJ, образующихся в обеих реакциях, описывается колоколообразной кривой с максимумом при  $v=21$  для  $\text{Ba} + \text{CH}_3\text{J}$  и  $v=39$  для  $\text{Ba} + \text{CH}_2\text{J}_2$ . Запасенная в колебаниях BaJ, часть полной энергии, выделяющейся в реакции, в среднем равна  $f_v = 0,18$  для  $\text{Ba} + \text{CH}_3\text{J}$  и  $f_v = 0,29$  для  $\text{Ba} + \text{CH}_2\text{J}_2$ . Результаты для реакции  $\text{Ba} + \text{CH}_3\text{J}$ , совместно с ранее полученным оценочным значением средней энергии поступательного движения продуктов реакции, позволяют заключить, что энергия внутреннего возбуждения образующихся в реакции метильных радикалов превосходит ту же для BaJ. Обсуждена модель, объясняющая динамику реакции. Определены некоторые молекулярные постоянные для состояний  $X^2\Sigma^+$  и  $C^2\Pi$  молекулы BaJ. Библ. 63.

BaJ

1976

85 - 14742

№ 1 Д360. Исправление к статье: «Анализ заселенности колебательных состояний нерелаксированных молекул BaJ, образующихся в реакциях Ba+CH<sub>3</sub>J и Ba+CH<sub>2</sub>J<sub>2</sub>». Daggidian P. J., Gruse H. W., Zare R. N. Vibrational state analysis of unrelaxed BaJ from the reactions Ba+CH<sub>3</sub>J and Ba+CH<sub>2</sub>J<sub>2</sub>. (Errata). «Chem. Phys.», 1976, 16, № 1, 124 (англ.)

См. реф. 1Д359.

(u, n)

φ. 1977 №1

BaI

Ку - 14742

1976

4 Б1085. Исправления к статье: «Анализ колебательных состояний возбужденных молекул BaI, образующихся в реакциях Ba+CH<sub>3</sub>J и Ba+CH<sub>2</sub>J<sub>2</sub>». D a g d i g i a n P. J., C r u s e H. W., Z a r e R. N. Vibrational state analysis of unrelaxed BaI from the reactions Ba+ +CH<sub>3</sub>J and Ba+CH<sub>2</sub>J<sub>2</sub>. (Errata). «Chem. Phys.», 1976, 16, № 1, 124 (англ.)

К РЖХим., 1977, 2Б128

Х. 1977. N4

BaJ

Л-14746

1876

1Д787. Определение  $D_0^0$ (BaJ) из хемилюминесцентной реакции Ba+J<sub>2</sub>. Dickson C. R., Kippey J. B., Zare R. N. Determination of  $D_0^0$ (BaJ) from the chemiluminescent reaction Ba+I<sub>2</sub>. «Chem. Phys.», 1976, 15, № 2, 243—248 (англ.)

Методом столкновения атомарного пучка Ba с газовой мишенью J<sub>2</sub> исследована в видимой области спектра хемилюминесценция реакции Ba+J<sub>2</sub> при общем давлении реагентов в зоне взаимодействия 10<sup>-5</sup>—10<sup>-4</sup> мм рт. ст. Полосы в эмиссионном спектре соотнесены с переходами в системе C<sup>2</sup>P→X<sup>2</sup> молекулы BaJ. Измерены зависимости интенсивности люминесценции от давления Ba и J<sub>2</sub> и сделан вывод о бимолекулярном характере реакции. Найдено, что общее феноменологич. поперечное сечение связывания атомов Ba составляет 86 Å<sup>2</sup>, что хорошо согласуется с общим поперечным сечением реакции (94 Å<sup>2</sup>), вычисленным теоретически. Из значения коротковолн. границы спектра, соотнесенной с переходом с уровня  $v'=41$  состояния C<sup>2</sup>P<sub>3/2</sub> на уровень  $v''=41$  основного состояния X<sup>2</sup>Σ, оценена нижняя граница энергии диссоциации молекулы BaJ в основном состоянии  $D_0^0$ (BaJ) (102±1) ккал/моль. Резюме

(80)

Р.1877 n1

BaJ

( $\Delta_0$ )

285: 114092s Determination of  $D^{\infty}$  (barium monomer) from the chemiluminescent reaction barium + molecular iodine. Dickson, C. R.; Kinney, J. S.; Zare, R. N. J. Chem., Columbia Univ., New York, N. Y. 10033, 1976, 15(2), 243-8. (Eng). A study was made of the chemiluminescent reaction from the reaction of 27-31 nm barium with 1 mmole crystallized iodine at 100 K. The resulting spectrum consists of the BaI  $\Sigma$ A - X $\Sigma$  continuum on top of an underlying continuum. The variation of the emission intensity with Ba and I<sub>2</sub> flux is investigated, and the reaction is bimol. The total phenomenol. cross section for barium atom removal is 86 Å<sup>2</sup>, which agrees well with the total reactive cross section calcd. assuming an electron jump mechanism. The short wavelength cutoff is identified as the transition from the  $v' = 41$  level of the BaI C $\Pi$  state to the  $v'' = 41$  level of the BaI X $\Sigma$  state. A strict lower bound  $D^{\infty}$  (BaI) = 102 ± 1 kcal/mole for the ground state dissociation energy of BaI is obtained from this short wavelength cutoff. The value  $D^{\infty}$  (BaI) = 102 ± 1 kcal/mole is recommended, where the error est. includes the possibly contribution from the final relative translational energy of the products.

1976

X-85-14746

C.A. 1976 85 N 16

BaJ

ХС-14746

1976

2 Б823. Определение  $D_0^\circ$ (BaJ) путем исследования реакции Ba+J<sub>2</sub>, сопровождающейся хемилюминесценцией. Dickson C. R., Kinney J. B., Zage R. N. Determination of  $D_0^\circ$ (BaJ) from the chemiluminescent reaction Ba+J<sub>2</sub>. «Chem. Phys.», 1976, 15, № 2, 243—248 (англ.)

(20)

Исследована хемилюминесценция в видимой области, обусловленная р-цией Ba+J<sub>2</sub> в атомном пучке Ba в условиях однократных соударений ( $\sim 10^{-4}$  мм). Наблюдаемый спектр содержит полосы, отмечающие переходу  $C^2\Pi - X^2\Sigma$  BaJ в области горба непрерывного спектра. Исследована зависимость интенсивности эмиссии BaJ в зависимости от потоков Ba и J<sub>2</sub> и сделан вывод что р-ция является бимолекулярной. Полное феноменологич. сечение р-ции оценено в  $86 \text{ A}^2$ , что согласуется с теор. оценкой полного сечения р-ции. Обрыв спектра в коротковолновой области идентифицирован с переходом

1977 № 2

$v''=41 \rightarrow v''=41$  из состояния  $C^2\Pi_{3/2}$  в состояние  $X^2\Sigma$  BaJ. Плучена оценка точной нижней границы  $D_0^\circ(\text{BaJ}) \geq 102 \pm 0,7$  ккал/моль для энергии диссоциации BaJ в основном состоянии на основе положения этого коротковолнового порога. Рекомендовано значение  $D_0^\circ(\text{BaJ}) = 102 \pm 1$  ккал/моль, где оценка ошибки включает возможный вклад конечной относит. трансляц. энергии продуктов.

Резюме

все  
от  $T$ ):  
 $\leq 0$   $v$

BaJ

1976

Brivem UBTAK

aug. N8, 1976.

onei. uci. Republike I.A.  
Ernest U.P.

(Do)  
(U.I.)

BaY

Commence w/ b name  
Hildenbrand

1972

DM. 37809

do

Hildenbrand D.L.

Annual Summary Report, January 1977,  
SRI Project 2445.

Thermochem. Gaseous Compounds of  
Metals.

BaJ

Bsp - 5499 - IX

1977

9 Д478. Видимый спектр испускания BaJ.  
Rao M. L. P., Rao D. V. K., Rao P. T., Murty P.S.  
The visible emission spectrum of diatomic barium iodide.  
«Fizika», 1977, 9, № 1, 25—29 (англ.)

С высоким разрешением (обратная дисперсия прибора 1,25 Å/мм) сфотографирован видимый спектр испускания молекул BaJ, возбуждаемый радиочастотным разрядом (40 Мгц) в парах BaJ<sub>2</sub>. В области длин волн 5330—5620 Å обнаружены две последовательности интенсивных полос, которые идентифицированы как последовательности  $\Delta v=0$  перехода C<sup>2</sup>P<sub>1/2,3/4</sub>—X<sup>2</sup>S. Определены колебательные постоянные  $\omega_c$  и  $\omega_e/x_e$  состояний C<sup>2</sup>P и X<sup>2</sup>S молекулы BaJ.

спектр  
испускаемый

09 1977 № 9

BaI

BP-5499-IX

1977

186; 197191t The visible emission spectrum of diatomic barium iodido, Rao, M. L. P., Rao, D. V. K.; Rao, P. T.; Murty, P. S. (Spectrosc. Lab., Andhra Univ., Waltair, India); *Fizika (Zagreb)* 1977, 9(1), 25-9 (Eng). High resolution spectrograms of the visible emission spectrum of BaI excited in a radio-frequency discharge source, reveal the presence of 2 intense sequences of head-less bands in the region 5330-5620 Å. These sequences are identified as the  $\Delta v = 0$  sequences of the  $C^2\pi - X^2\Sigma^+$  transition of the BaI molecule. The vibrational constants ( $\text{cm}^{-1}$ ) of the  $C^2\pi$  and  $X^2\Sigma^+$  states; obtained from a vibrational analysis of the system are presented.

u, n

c. A. 1977. 26 N26

BaI

1977

V 92: 85391a The ultraviolet band systems of barium iodide (BaI) molecule. Rao, M. L. P.; Rao, D. V. K.; Rao, P. T.; Murty, P. S. (Spectrosc. Lab., Andhra Univ., Andhra, India). *Opt. Pura Apl.* 1977, 10(2), 97-103 (Eng). The emission spectrum of the BaI mol. was excited in a radio-frequency discharge and photographed in the 1st order of a 21-ft. concave grating spectrograph. A comprehensive new vibrational anal. of the *D-X* and *E-X* systems of the diat. BaI is reported. The vibrational consts. of the 2 systems are given.

Min.

CA 1980 22 n10

1977

BaJ

12 Д411. Системы полос молекулы BaJ в УФ-области спектра. Rao M. L. P., Rao D. V. K., Rao P. T., Murty P. S. The ultraviolet band systems of BaI molecule. «Opt. рига у apl.», 1977, 10, № 2, 97—103 (англ.; рез. исп.)

Получен спектр испускания молекул BaJ в области 3650—3950 Å. Спектр возбуждался ВЧ-полем (40 МГц, 500 вт) в непрерывно откачивавшейся трубке из кварца с кристаллич. BaJ<sub>2</sub>. Из 12 зарегистрированных полос тщательно проанализированы две, приписанные переходам  $D^2\Sigma^+ \rightarrow X^2\Sigma^+$  и  $E^2\Sigma^- \rightarrow X^2\Sigma^+$ . Определены молекулярные константы для BaJ в состояниях  $D^2\Sigma^+$ ,  $E^2\Sigma^-$  и  $X^2\Sigma^+$ . Энергии диссоциации BaJ в состояниях  $X^2\Sigma^+$  и  $D^2\Sigma^+$  равны (в см<sup>-1</sup>) 19 825 и 15 497 соответственно. Результаты находятся в хорошем согласии с данными других авторов.

Ф.1948, № 2

Ba I

ONLINE 5986

1977

88: 96848y Bimodal distribution of barium monoiodide vibrational states from the reaction barium + trifluoromethyl iodide. Smith, G. P.; Whitehead, J. C.; Zare, R. N. (Dep. Chem., Columbia Univ., New York, N. Y.). *J. Chem. Phys.* 1977, 67(11), 4912-16 (Eng). Unrelaxed vibrational state distributions of BaI product are reported for the reaction  $\text{Ba} + \text{CF}_3\text{I} \rightarrow \text{BaI} + \text{CF}_3$ , using laser-induced fluorescence. Product state distributions were measured using a beam-gas arrangement and a primitive angular distribution was also detd. using a crossed-beam configuration. The BaI vibrational distribution is bimodal with a low vibrational component peaking at  $v \sim 27$  and a high vibrational component peaking at  $v \sim 47$ . At least 75% of the BaI is produced in the high vibrational levels. The angular distribution indicates that the BaI formed in the high vibrational states is scattered in a forward direction with respect to the Ba beam, but the low vibrational component is not sharply forward scattered. The Ba + CF<sub>3</sub>I reaction is thought to proceed by 2 mechanisms: (1) attack in the direction of I-CF<sub>3</sub>, leading to BaI product formation with low vibrational energy; and (2) attack in the direction of CF<sub>3</sub>-I, either by initial attack of the CF<sub>3</sub> end followed by migration or by attack of the I end at large impact parameters, leading to BaI product formation with high vibrational energy.

C.A. 104:288,N14

отмеч 5986

1977

BaJ

7Д1105. Двухкомпонентное колебательное распределение молекул BaJ, образующихся в реакции Ba+ + CF<sub>3</sub>J. Smith G. P., Whitehead J. C., Zare R. N. Bimodal distribution of BaI vibrational states from the reaction Ba+CF<sub>3</sub>I. «J. Chem. Phys.», 1977, 67, № 11, 4912—4916 (англ.)

Методом индуцированной лазером флуоресценции исследовано первичное колебательное распределение молекул BaJ, образующихся в результате реакции Ba+ + CF<sub>3</sub>J → BaJ + CF<sub>3</sub> при рассеянии пучка атомов Ba на молекулах CF<sub>3</sub>J. Получено примитивное угловое распределение для BaJ. В колебательном распределении наблюдаются 2 максимума ( $V=27$  и  $V=47$ ). Около 75% образующихся молекул BaJ находятся на высоких колебательных уровнях. Угловое распределение молекул с большим колебательным возбуждением имеет ярко выраженный максимум в направлении пучка атомов Ba. Для низкоэнергетичной колебательной компоненты этот максимум выражен менее четко. Наличие в колебательном распределении двух максимумов объ-

образов.  
исследовано

9.1978.НЧ

ясно различием механизмов реакции при разных направлениях удара атомов Ва по молекуле  $\text{CF}_3\text{J}$ . При ударе в направлении  $\text{J}-\text{CF}_3$  образуются молекулы  $\text{VaJ}$  с низким колебательным возбуждением, тогда как при ударе по  $\text{CF}_3$  или по атому  $\text{J}$  при большом параметре удара образуются молекулы  $\text{VaJ}$  с большим колебательным возбуждением. Библ. 26. В. С. Иванов

1977

BaJ

З Б1240. Двугорбое распределение BaJ по колебательным состояниям в реакции Ba+CF<sub>3</sub>J. Smith G. P., Whitehead J. C., Zare R. N. Bimodal distribution of BaJ vibrational states from the reaction Ba+CF<sub>3</sub>J. «Lasers Chem. Proc. Conf., London, 1977». Amsterdam e. a., 1977, 133—137 (англ.)

распределение  
по колебательным  
состояниям

В условиях однократных столкновений (давл. ~2·10<sup>-5</sup> мм) методом скрещенных молек. пучков исследовано распределение по колебат. состояниям молекул BaJ, образующихся в хим. р-ции Ba+CF<sub>3</sub>J→BaJ+CF<sub>3</sub>. Энергетич. состояние BaJ регистрировалось по спектру поглощения и флуоресценции на переходе X<sup>2</sup>Σ<sup>+</sup>—C<sup>2</sup>Π<sub>3/2</sub> (возбуждение перестраиваемым импульсным лазером на красителе в диапазоне 529—536 нм). Найдено, что колебательное распределение имеет двугорбый характер с максимумами при  $v=27$  и  $v=47$ , причем угловое распределение молекул с  $v=47$  имеет максимум (полуширина ~20°) при угле ~10° по отношению к направлению пучка Ba. Результаты интерпретируются с позиции прямого (без комплексообразования) взаимодействия по рикошетному механизму ( $v=27$ ) и механизму срыва ( $v=47$ ).

Г. К. Васильев

д. 1977, №

BaJ

1977

10 Б144. Система  $C^2\Pi - X^2\Sigma$  молекулы BaJ.  
Shah S. G., Patel M. M.  $C^2\Pi - X^2\Sigma$  system of BaJ  
molecule. «Indian J. Pure and Appl. Phys.», 1977, 15,  
№ 10, 728—729 (англ.)

В области 5200—5700 Å измерен спектр испускания моноиодида бария возбуждаемый ВЧ-разрядом (10—15 мгц). Наблюдались две подсистемы, отнесенные к переходам  $C^2\Pi_{1/2} - X^2\Sigma$  (0—0-полоса при  $17815,9 \text{ см}^{-1}$ )—I и  $C^2\Pi_{3/2} - X^2\Sigma$  (0—0-полоса при  $18570,8 \text{ см}^{-1}$ )—II. В обеих системах выделены секвенции с  $\Delta v = 2$  ( $v \leq 36$ —I,  $v \leq 48$ —II),  $\Delta v = 1$  ( $v \leq 20$ —II),  $\Delta v = 0$  ( $v \leq 60$ —I,  $v \leq 50$ —II),  $\Delta v = -1$  ( $v \leq 18$ —I,  $v \leq 11$ —II),  $\Delta v = -2$  ( $v \leq 35$ —II). Полученные значения молек. постоянных равны (в  $\text{см}^{-1}$ ):  $\omega_e' = 158,05$ ,  $\omega_e' x_e' = 0,2748$ ,  $\omega_e'' = 152,30$ ,  $\omega_e'' x_e'' = 0,2703$ ,  $A_v = A_e + A'(v + 1/2)$ ,  $A_e = 754,93$ ,  $A' = 0,207$ .

Б. М. Ковба

2. 1978/11/10

1977

BaJ

7 Д458.  $C^2\Pi - X^2\Sigma$  система молекулы BaJ.  
 Shah S. G., Patel M. M.  $C^2\Pi - X^2\Sigma$  system of BaJ  
 molecule. «Indian J. Pure and Appl. Phys.», 1977, 15,  
 № 10, 728—729 (англ.)

Эмиссионный спектр молекулы BaJ, возбуждаемой ВЧ-разрядом в кварцевой трубке, в области 5700—5200 Å зарегистрирован на спектрографе с дисперсией 3,7 Å/мм. Проведен анализ двух подсистем  $C^2\Pi_{1/2} - X^2\Sigma$  (начало 17815,9 см<sup>-1</sup>) и  $C^2\Pi_{3/2} - X^2\Sigma$  (начало 18570,8 см<sup>-1</sup>). Определены значения спектроскопич. констант: общее начало подсистем — 18191,20,  $\omega_e' = 158,05$ ,  $\omega_e'' = 152,30$ ,  $\omega_e'x_e' = 0,2748$ ,  $\omega_e''x_e'' = 0,2703$ ,  $A_v = A_e + A'$  ( $v' + 1/2$ ), где  $A_e = 754,93$ ,  $A' = 0,207$  (все величины в см<sup>-1</sup>). Расхождения между расчетными и экспериментальными волн. числами в большинстве случаев не превышают 1 см<sup>-1</sup>.

Р. Мухтаров

Ф: 1977, N7

1977

Ba.Y

88: 43402s C<sup>2</sup>II-X<sup>2</sup>Σ system of the barium monoiodide molecule. Shah, S. G.; Patel, M. M. (Fac. Sci., Maharaja Sayajirao Univ. Baroda, Baroda, India). *Indian J. Pure Appl. Phys.* 1977, 15(10), 728-9 (Eng). The C<sup>2</sup>II-X<sup>2</sup>Σ system of BaI mol. in the region 5700-5200 Å was excited in a high frequency discharge source at a dispersion 3.7 Å/mm. Addnl. sequences of bands were recorded for the 1st time, and the results were utilized to evaluate exact vibrational consts. by a computer program. The consts. obtained are: common band origin = 18191.20,  $\omega_e' = 158.05$ ,  $\omega_e'' = 152.30$ ,  $\omega_e' \chi_e' = 0.2748$ ,  $\omega_e'' \chi_e'' = 0.2703$ , cm<sup>-1</sup> and  $A_v = A_e + A' (v + 1/2)$  where  $A_e = 754.93$  and  $A' = 0.207$  cm<sup>-1</sup>.

-4, 4.

C.A., 1978, 88, N6

Ba<sup>y</sup>

ammecell N.Y.

~ 1978

Pranee Hildenbrand

Kleinschmidt P.D.

Hildenbrand Z.L.

(No)

in press.

Dissociation energies of Ca<sup>y</sup>  
Sc<sup>y</sup> and Ba<sup>y</sup> from high  
temperature mass spectra.

Ba<sup>9</sup> 1000 Estler Ron C., et al

1978

Chem. Phys. 1978, 28,  
N3, 253-263 (лит.)

Семёнов 5973

(D<sub>0</sub>  
M.H)

На основании этих данных рассчитывается первоначальное распределение относит. кинетич. энергии реагентов (обусловливающих заселение того или иного внутреннего состояния), знание которого необходимо для определения энергии связи. Исследованы реакции Ba(<sup>3</sup>D) + X<sub>2</sub> → BaX\* + X, где X = Br. Определены энергии диссоциации D<sub>0</sub><sup>0</sup>(BaBr) = (85,2 ± 2) ккал/моль и D<sub>0</sub><sup>0</sup>(BaJ) = (72,9 ± 2) ккал/моль. Отмечена ошибочность результатов ранее выполненных экспериментов (Dickson C. R. et al., Chem. Phys., 1976, 15, 243 и Menzinger M., «Can. J. Chem.», 1974, 52, 1688) по определению энергий связи хемилюминесцентным методом, в котором не учитывалось наличие метабильных атомов в высокотемпературном пучке атомов металла. Библ. 50.

В. С. Иванов

Семёнов 5973, 15

ф. 1978  
N 11

Bailey communal n° 9  
Enrique Molleabrandt

~ 1978

Hildenbrand & L.

(20)

in press

Ba γ [Organica n't  
to receive field record] • 1978

Hildenbrand Y.L.  
in press

(Xe)

BaY | Commerce & Fin 1978  
Ernest Hildebrand

Hildebrand D. L.

(No)

In press.

Ba Y      volume 6175      1978

Kleinschmidt P.D.  
et al.

(80)

J. chem. Phys., 1978,  
68(6) 2819 - 24



(ex. Ca<sup>2+</sup>;  $\text{Ti}^{4+}$ )

Ba.Y

ommited 8663

1979

Hildenbrand D. K.

(80)

J. Electrochem. Soc.

1979, 126 (8), 1396-1400

Ba Y

1980

Herrion G., et al.

Z. Chem. 1980, 20(4),  
266-4.

стекло  
искусств.  
титановая

ал. Mg F-III

В9-IX-5656 1980

BaJ<sub>2</sub>

BaJ

равновесия

(у)

11 Б931. Ионно-молекулярные равновесия в парах над йодидом бария и над его смесью с хлоридом бария. Погребной А. М., Кудин Л. С., Краснов К. С. «Теплофиз. высок. температур», 1980, 18, № 1, 213—215  
Масс-спектрометрическим методом изучены ионно-молек. равновесия в парах над BaJ<sub>2</sub> и над его смесью с BaCl<sub>2</sub> (1 : 1, 2 : 1) при т-рах 966—1172 К. Химически чистые кристаллогидраты указанных галогенидов предварительно обезвоживались в течение нескольких часов при 150°. Испарение препаратов производилось из молибденовой ячейки с отношением площади поперечного сечения ячейки к площади эффузионного отверстия 100—150. Для всех ионно-молек. р-ций получены т-рные зависимости константы равновесия. Терлоты и энтропии р-ции рассчитаны с использованием 2- и 3-го законов термодинамики. Разность потенциалов ионизации моноиода и монохлорида бария равна ( $-0,3 \pm 0,2$ ) эВ. Основываясь на эксперим. значениях потенциала ионизации монохлорида бария, найден потенциал ионизации моноиода бария, равный  $4,7 \pm 0,2$  эВ.

2: 1980.111

Л. Е. Ястребова

BaJ

Омск 13230

1981

5 Д431. Вращательный анализ переполненных спектров. Применение метода заселеностной маркировки к системе BaJ(C—X). Rotational analysis of congested spectra. Application of population labeling to the BaJ C—X system. Johnson Mark A., Webster Christopher R., Zare Richard N. «J. Chem. Phys.», 1981, 75, № 11, 5575—5577 (англ.)

Методом двойного оптически-оптич. резонанса с использованием двух непрерывных перестраиваемых лазеров на красителе исследована вращательная структура полосы (0, 0) системы C—X молекулы BaJ. Продемонстрирована перспективность использования методик с заселеностной маркировкой при исследовании полос

φ. 1982, 18, N5.

с чрезвычайно плотной структурой. Приведены результаты предварительного анализа полосы BaJ ( $C-X$ , (0,0)). Определены значения вращательной постоянной в верхнем и нижнем состояниях:  $B_0''=0,02678 \text{ см}^{-1}$  и  $B_0'=0,02670 \text{ см}^{-1}$ .

В. С. И.

BaJ

Одесса 13.2.80 1981

11 Б126. Вращательный анализ спектров с насыщенной структурой. Применение метода контроля заселенности к системе C—X BaJ. Johnson Mark A., Webster Christopher R., Zare Richard N. Rotational analysis of congested spectra: Application of population labeling to the BaJ C—X system. «J. Chem. Phys.», 1981, 75, № 11, 5575—5577 (англ.)

На примере полосы 0—0-перехода  $C^2\Pi - X^2\Sigma^+$  BaJ рассмотрен следующий метод анализа вращательной тонкой структуры электронных спектров со сложной структурой. Модулированное с различной частотой излучение двух одномодовых перестраиваемых лазеров на красителе непрерывного действия пропускали в противоположных направлениях через молекулярный пучок BaJ. Излучение одного лазера сканировали в области полосы 0—0 подсистемы  $C^2\Pi_{3/2} - X^2\Sigma^+$ , а излучение второго — настраивали на отдельный переход в подсистеме  $C^2\Pi_{1/2} - X^2\Sigma^+$ .

В. М. Ковба

X, 1982, 19, N 11.

Ba<sup>g</sup>

Oct. 13 230

1981

95: 228565k Rotational analysis of congested spectra: application of population labeling to the barium iodide (BaI)C-X system. Johnson, Mark A.; Webster, Christopher R.; Zare, Richard N. (Dep. Chem., Stanford Univ., Stanford, CA 94305 USA). *J. Chem. Phys.* 1981, 75(11), 5575-7 (Eng). The power of the optical-optical double resonance method of lower level population labeling using lasers was demonstrated by applying it to obtain a preliminary rotational anal. of the (O, O) band of the BaI C<sup>2</sup>Π-X<sup>2</sup>Σ<sup>+</sup> system. Two single-mode continuous-wave dye lasers, modulated at frequencies  $\omega_1$  and  $\omega_2$ , intersect a mol. beam of BaI. The 1st laser is scanned through the C<sub>2</sub>(<sup>2</sup>Π<sub>3/2</sub>)-X(O,O) rotational manifold near 538 nm, while the 2nd laser is fixed on a selected transition in the C<sub>1</sub>(<sup>2</sup>Π<sub>1/2</sub>)-X(O,O) band near 561 nm. The resulting fluorescence from each spin orbit component of the C-X band system is detected independently by a filter-photomultiplier combination. Rotational consts. were obtained:  $B_0'' = 0.02678 \text{ cm}^{-1}$  and  $B_0' = 0.02670 \text{ cm}^{-1}$ .

C.A. 1981, 95, N26.

Bao (OM. 31531) 1982

Reddy R.R. Rao T.V.R.,

Do,  
Sacramento

g. Mol. Street., 1982,  
90, 40-52.

Ba. 97

(OM. 17068)

1983

Кыдым С.С., Погребной А.И.,  
и др.,

Kp, I

Узб. бытоб. земледелия и  
техн., № 1, 1983,  
26, №, 685-688.

Иллюст.

Бау

1983

Кызыл М. С., Торпедной  
ш. ул., 4 гп.

г.

2136. Кеззоб. Женевис и Испол.  
механик., 1983; 26, №,  
685-688.

(с.е. К2; 111)

BaJ

1984

9 Б4332. Распределение энергии в реакциях атомов бария с нормальными и разветвленными алкилиодидами и дибромалканами. Energy partitioning in the reactions of barium atoms with normal and branched alkyl iodides and dibromoalkanes. Chakravorty Kishore K., Bernstein Richard B. «J. Phys. Chem.», 1984, 88, № 16, 3465—3472 (англ.)

При помощи Фл, индуцированной лазером, найдены исходные колебат. распределения продуктов BaX, образующихся в р-ции скрещенных пучка Ba и струи молекул орг. галогенидов RX ( $X=J, Br$ ). Исследованы алкилиодиды  $CH_3J$  (I),  $C_2H_5J$  (II), н- $C_3H_7J$  (III), изо- $C_3H_7J$  (IV) и трет- $C_4H_9J$  (V) и дибромалканы  $CH_2Br_2$ ,  $CH_3CHBr_2$  и  $(CH_3)_2CBr_2$ . Наблюдали Фл полос BaJ ( $C^2\Pi_{3/2} \rightarrow X^2\Sigma^+$ ,  $\Delta v = 0$ ,  $\approx 537$  нм) и BaBr ( $C^2\Pi_{1/2} \rightarrow X^2\Sigma^+$ ,  $\Delta v = -1$ ,  $\approx 541$  нм). Наивысший заселяемый колебат. уровень BaX ( $v_{\max}$ ) и средняя колебат. энергия ( $\epsilon_v$ ) увеличиваются с ростом экзотермичности

41

Х

Х. 1985, 19, N 9.

р-ции и карбонового числа молекулы. Для йодидов  $v_{\max}$  возрастает от 39 до 51, для бромидов от 41 до 52. Для  $\text{BaJ}$   $\varepsilon_v$  меняется от 8,5 до 11,5 ккал/моль ( $f_v \approx 0,4$ ), а для  $\text{BaBr}$  от 13 до 15 ккал/моль. Для всех р-ций имеется значит. инверсная заселенность колебат. уровней  $\text{BaJ}$  и  $\text{BaBr}$ . Относит. сечения р-ций алкильйодидов изменяются в широких пределах: 1 (I), 1,6 (II), 2,9 (III), 1,9 (IV), 1,5 (V). Более высокая р-ционная способность III по сравнению с IV интерпретирована как стерич. эффект. Энергия отдачи продуктов распределена по Гауссу, причем с увеличением размеров алкиленовой группы отклонение распределения от гауссовой формы возрастает. Во всех случаях максимум распределения соответствует  $\approx 7$  ккал/моль ( $f_t \approx 0,33$  для  $\text{BaJ}$ ). Сумма средн. врашат. энергии  $\text{BaJ}$  и средней внутренней энергии алкильных радикалов остается постоянной для всех р-ций  $\text{Ba}+RJ$  ( $\approx 6,6$  ккал/моль), что объяснено в терминах гарпунного механизма р-ций с импульсом отдачи, направленным коллинеарно оси  $\text{Ba}^+-J^--\text{P}$ .

Л. Ю. Мельников

BaI

LOM 21209

1984

8 Л155. Вращательный анализ полосы (0,0) перехода BaI( $C^2\Pi - X^2\Sigma^+$ ). Rotational analysis of the BaI  $C^2\Pi - X^2\Sigma^+$  (0,0) band. Johnson Mark A., Noda Chifugi, McKillop John S., Zare Richard N. «Can. J. Phys.», 1984, 62, № 12, 1467—1477 (англ.; рез. фр.)

Методом лазерной спектроскопии в молекулярном пучке исследована система BaI ( $C^2\Pi - X^2\Sigma^+$ ). Выполнен вращательный анализ полосы (0,0). В полосе отсутствуют локальные возмущения, хотя и проявляется значительное взаимодействие состояния  $C^2\Pi$  с рядом состояний  $^2\Sigma^+$ . Спин-орбитальная структура состояния  $C^2\Pi$  является регулярной, тогда как параметры А-удвоения,  $p$  и  $q$ , имеют противоположные знаки. Видимые аномалии в интенсивности линий различных вращательных ветвей двух спин-орбитальных подсистем объяснены различиями в сверхтонкой структуре спин-орбитальных компонент состояния  $C^2\Pi$ . Библ. 20.

В. С. Иванов

cf. 1985, 18, N8

BaI

Om. 21 209 ] 1984

102: 194160v Rotational analysis of the barium monoiodide C<sup>2</sup>II - X<sup>2</sup>Σ<sup>+</sup> (0,0) band. Johnson, Mark A.; Noda, Chifuru; McKillop, John S.; Zare, Richard N. (Dep. Chem., Stanford Univ., Stanford, CA 94305 USA). *Can. J. Phys.* 1984, 62(12), 1467-77 (Eng). Rotational anal. of the BaI C<sup>2</sup>II - X<sup>2</sup>Σ<sup>+</sup> (0,0) band system was performed by using mol. beam and laser spectroscopic techniques. This band is free from local perturbations, although significant interaction of the C<sup>2</sup>II state with several other <sup>2</sup>Σ<sup>+</sup> states is indicated. The spin-orbit ordering of the C state is regular, while the Λ-doubling parameters p and q are opposite in sign. Apparent anomalies in the line strengths of various rotational branches in the 2 spin-orbit subbands are related to obserd. differences in the hyperfine structures of the C-state spin-orbit components.

(M.N.)

c.a. 1985, 102; N.D.L.

Ba<sup>y</sup> (on 32119) 1984

Törning T., Ernst W.E.,  
et al.,

M, meopem.  
pacrem J. Chem. Phys., 1984, 81,  
N 10, 4614-4619.

Dipole moments and potential  
energies of the ● alkaline

earth monohalides from  
an ionic model.

BaJ

1985

Ernst W. E., Schröder J.O.,  
et al.

Laser Spectrosc. VII. Proc.

7 Int. Conf., Hawaii, June  
24-28, 1985. Berlin e.a.,  
1985, 142-143.

(Ces. Call; III)

4.12.

BaY

1985

Gotkis I. S., Belyaev V. N.,  
et al.

Темп. крм.  
направлен-  
ности ваку-  
умных  
секунд.

Zh. Strukt. Khim.  
1985, 26(5), 27-34.

(cсr. BaF; III)

BaY

DM. 21181 | 1985

Torring T., Döbel K.,

YbBa-

usamericum - Chem. Phys. Lett.,

Keei

1985, 115, N3, 328 -  
332.



BaJ

От 31.10.85 1985

23 Б1213. Вращательное отнесение на основании фазовых зависимостей в спектроскопии двойного оптического резонанса. Система  $C^2\Pi - X^2\Sigma^+$  BaJ. Rotational assignment using phase relationships in optical-optical double resonance: The BaJ  $C^2\Pi - X^2\Sigma^+$  system. Johnson M. A., Zare R. N. «J. Chem. Phys.», 1985, 82, № 10, 4449—4459 (англ.). Место хранения ГПНТБ СССР

Разработан и на примере системы  $C^2\Pi - X^2\Sigma$  (полоса 0—0) BaJ апробирован новый способ определения нумерации по  $J$  линий вращат. структуры насыщ. электронных спектров молекул, базирующийся на методе двойного лазерного оптич. резонанса. Под действием излучения одного из лазеров (фиксированного по частоте) заселялись отдельные возбужденные уровни и регистрировалась индуцированная лазером флуоресценция. Излучение 2-го лазера сканировалось по частоте в пределах того же самого перехода. Сигнал двойного резонанса регистрировался в тех случаях, когда действие

(III-1)

ж. 1986, 19, № 23

2-го лазера увеличивало или уменьшало заселенность маркированного уровня. Положение и фазовый контур спектра двойного резонанса позволяют установить нумерацию по  $J$  маркируемого уровня и провести затем анализ вращат. структуры перехода. Значения  $B''$ ,  $\gamma''$ ,  $B'$  в  $\text{BaJ}$  равны соотв. 0,0267; 0,0028; 0,0273  $\text{см}^{-1}$ .

В. М. Ковба

BaI

(Om: 31108)

1985

103: 29352x Rotational assignment using phase relationships in optical-optical double resonance: the barium monoiodide C<sup>2</sup>II-X<sup>2</sup>Σ<sup>+</sup> system. Johnson, Mark A.; Zare, Richard N. (Dep. Chem., Stanford Univ., Stanford, CA 94305 USA). *J. Chem. Phys.* 1985, 82(10), 4449-59 (Eng). An optical-optical double resonance scheme is described in which a lower vibration-rotation level is labeled. One laser is fixed in frequency and probes the population of the labeled level via the resulting laser-induced fluorescence; a 2nd laser is scanned in frequency through the same vibronic band excited by the probe. A double resonance signal results when the population in the labeled level is either increased or decreased by the action of the 2nd laser. The positions and phase pattern of the double resonance spectrum reveal the *J* numbering of the labeled level and permit a good approxn. to be made for the upper and the lower state rotational consts. This information allows the *J* value of the labeled level to be systematically changed, permitting the spectrum to be unraveled. This technique is proven by applying it to the highly congested C-X spectrum of the BaI mol., for which no rotational information was previously available for any of its states.

(C<sup>2</sup>I-X<sup>2</sup>Σ<sup>+</sup>)

P.A. 1985, 103, NY.

1986

BaJ

(м.н.)

§ 6 Л140. Сверхтонкая структура  $X^2\Sigma^{+-}$ - и  $C^2\Pi$ -состояний BaJ. Hyperfine structure of the BaJ  $X^2\Sigma^+$  and  $C^2\Pi$  states. Ernst W. E., Kändler J., Noda C., McKillop J. S., Zare R. N. «J. Chem. Phys.», 1986, 85, № 7, 3735—3743 (англ.) Место хранения ГПНТБ СССР

Для основного состояния  $[X^2\Sigma^+ (v=0)]$  изучено сверхтонкое расщепление перехода  $N=7 \leftarrow 6$  чисто-вращательного спектра BaJ, полученного методом двойного микроволни.-оптич. резонанса. В области 0—0-полосы электронного перехода  $C^2\Pi - X^2\Sigma^+$  изучено сверхтонкое расщепление линий в спектре флуоресценции BaJ, индуцированной излучением перестраиваемого лазера. В результате совместного анализа эксперим. данных рассчитаны значения спин-вращательных постоянных и постоянных сверхтонкой структуры BaJ в  $[X^2\Sigma^+ (v=0)]$ - и  $[C^2\Pi (v=0)]$ -состояниях. Определены постоянные квадрупольного взаимодействия BaJ и обсуждены особенности распределения заряда в  $X$ - и  $C$ -состояниях. Библ. 34.

B. K.

φ. 1987, 18, № 6

Ba<sup>3</sup>

1985

Reddy R. R., Reddy  
A. S. R. et al.

Do, Can. J. Chem., 1985, 63,  
осенка N 11, 3174 - 3176.

(C<sub>60</sub> • BeF<sub>3</sub>; III)

Бау(н)

Васильев Г. Г.

1985

Лацс-спектролюминесцентное  
определение полимерных ионов  
заряженных механических изнашива-

щих процессов и ломко-и  
износостойкости щелочнозависимых  
полимеров. Автотезератив  
распространено в СССР на  
ученой степени канди-  
дата хим. наук, Иваново, 1985.

BaJ

1986

11 Б1169. Сверхтонкая структура состояний  $X^2\Sigma^+$  и  $C^2\Pi$  BaJ. Hyperfine structure of the BaJ  $X^2\Sigma^+$  and  $C^2\Pi$  states. Ernst W. E., Kändler J., Noda C., McKillop J. S., Zare R. N. «J. Chem. Phys.», 1986, 85, № 7, 3735—3743 (англ.) Место хранения ГПНТБ СССР

Методом оптического-микроволнового двойного резонанса в молек. пучке исследована СТС уровней  $v=0$  состояний  $X^2\Sigma^+$  и  $C^2\Pi$  молекулы BaJ. Получены след. значения параметров спин-вращат. взаимодействия ( $\gamma$ ), контактного взаимодействия Ферми ( $a, b, c, d$ ) и квадрупольного взаимодействия ( $eqQ$ ) (в мГц): состояние  $X^2\Sigma^+ - \gamma = 75,850, b = 93,12, c = 52,17, eqQ = -33,62$ ; состояние  $C^2\Pi - Q = 263, b + c = -430, d = -67, eqQ =$

М.Н.

Х. 1987, 19, № 11

—214. Интерпретация результатов по СТС выполнена в рамках ионной модели молекулы. Сделан вывод, что орбитали  $\sigma$ -типа  $Ba^+$  поляризованные в направлении от  $J^-$  определяют величину и знак параметров СТС молекулы в основном электронном состоянии, а орбитали  $\pi$ -типа  $Ba^+$  поляризованные в направлении к  $J^-$  определяют эти параметры в возбужденном электронном состоянии  $BaJ$ .

В. М. Ковба

BaJ

1986

5 Л185. Определение дипольного момента в основном состоянии BaJ методом прецезионной штарковской спектроскопии. The ground-state dipole moment of BaJ from high-precision Stark spectroscopy. Ernst W. E., Kändler J., Törring T. «Chem. Phys. Lett.», 1986, 123, № 4, 243—245 (англ.)

(11)

Методом штарковской спектроскопии с помощью лазерно-микроволн. техники выполнены измерения частот переходов чисто-вращательного спектра BaJ в молекулярном пучке. Из анализа расщеплений и сдвигов частот ряда вращательных переходов при изменении напряженности электрич. поля в интервале 0—700 В/см определен дипольный момент BaJ в основном колебательном состоянии;  $\mu = 5,969 \pm 0,006$  ед. Дебая. Отмечено, что измеренное значение дипольного момента удовлетворяет рассчитанному в приближении ионной связи. В. К.

ch. 1986, 18, n5

Ba<sup>g</sup>

[Om. 25980]

1986

Ernst W.E., Kändler J.,

СВЕРХМОЛ.  
СМЫКИНГА  
 $X_{25}^{+} u C^{27}$   
COCONUT

J. Chem. Phys., 1986,  
85, N 7, 3735-3743.

Ba 9

1986

f 105: 180652g Hyperfine structure of the barium iodide (BaI)  $X^2\Sigma^+$  and C $^3\Pi$  states. Ernst, W. E.; Kaendler, J.; Noda, G; McKillop, J. S.; Zare, R. N. (Inst. Molekulphys., Freie Univ. Berlin, D-1000 Berlin, 33 Fed. Rep. Ger.). *J. Chem. Phys.*, 1986, 85(7), 3735-43 (Eng). Optical-microwave double-resonance measurements were carried out to find the hyperfine structure consts. of the  $v = 0$  level of the BaI  $X^2\Sigma^+$  state. These were combined with sub-Doppler optical measurements of the BaI C $^3\Pi$ - $X^2\Sigma^+$  (0,0) band to derive the hyperfine structure consts. of the excited state. The following mol. consts. (in MHz) were detd. (the nos. in parentheses represent 1 std. deviation in a least squares fit): for the BaI  $X^2\Sigma^+$  state,  $\gamma'' = 75.8501(33)$ ,  $b'' = 93.117(19)$ ,  $c'' = 52.170(54)$ , and  $eQq'' = -34.6(12)$ , and for the BaI C $^3\Pi$  state,  $a' = 263(53)$ ,  $b' + c' = 430(212)$ ,  $d' = -66.7(1.4)$ , and  $eQ' = -214(11)$ . The Fermi contact interaction and the elec. quadrupole coupling consts. for both the BaI X and C states appear to arise from the distortion of closed-shell 1s orbitals by the field of the Ba $^+$  ion. In the BaI X state, the charge distribution on the Ba $^+$  center is directed away from I while in the C state toward I.

DRM - 46  
gboUHOU  
refraction  
M-N

C.A. 1986, 105, n20

BaJ

Om 26.205

1986

11 Л252. Распределение по состояниям BaJ в результате реакции Ba+CF<sub>3</sub>J. BaJ product state distribution from the reaction Ba+CF<sub>3</sub>J. Johnson M. A., Allison J., Zare R. N. «J. Chem. Phys.», 1986, 85, № 10, 5723—5732 (англ.) Место хранения ГПНТБ СССР

Методом рассеяния пучка атомов бария на газовой мишени CF<sub>3</sub>J при низком давлении исследована спектроскопия и распределение по состояниям продукта реакции BaJX<sup>2</sup>Σ<sup>+</sup>. Детектирование BaJ проводилось по лазерно-индукционной флуоресценции O<sup>2</sup>Π—X<sup>2</sup>Σ<sup>+</sup>. Обнаружен ряд особенностей в спектре возбуждения флуоресценции, обусловленных близостью вращательных констант в верхнем и нижнем состояниях и предиссociацией верхнего состояния. Получена верхняя граница энергии связи BaJ: 78,5±0,5 ккал/моль. Колебательное распределение BaJ имеет колоколообразную форму с максимумом при ν"=50. Средняя вращательная энергия уменьшается с увеличением колебательной энергии, а вращательное распределение имеет ширину, сравнимую с шириной колебательного распределения. Библ. 32.

Е. П. Смирнов

Do

phi. 1987, 18, N 11

BaI

Om. 26205 1986

' 106: 9586k Barium iodide (BaI) product state distribution from the reaction barium + trifluoriodomethane. Johnson, M. A.; Allison, J.; Zare, R. N. (Dep. Chem., Stanford Univ., Stanford, CA 94305 USA). *J. Chem. Phys.* 1986, 85(10), 5723-32 (Eng). Under single-collision beam-gas scattering conditions the  $\text{Ba} + \text{CF}_3 = \text{I} \rightarrow \text{BaI} + \text{CF}_3$  reaction was studied by using laser induced fluorescence to detect the BaI  $X^2\Sigma^+$  product. The resulting BaI  $C^2\Pi - X^2\Sigma$  excitation spectrum has a complex appearance owing to the similarity of the upper and lower state rotational consts., causing a reversal in band shading, and owing to a predissocn. in the upper state, causing a break off in the fluorescence of high vibrational levels in each spin-orbit subband. From the predissocn. onset, an upper bound of  $78.5 \pm 0.5$  kcal/mol is placed on the BaI bond energy. The vibrational population distribution is bell shaped, peaking near  $v'' = 50$ , and accounts for most of the available energy. The av. energy appearing in BaI rotation decreases with increasing BaI vibrational excitation. The BaI rotational distribution has a width comparable to that of the vibrational distribution.

(37-X2Σ)

(S0)

c.A. 1987, 106, N2

БаJ

07.26.205 1986

20 Б4049. Распределение по состояниям продуктов BaJ в реакции Ba+CF<sub>3</sub>J. BaI product state distribution from the reaction Ba+CF<sub>3</sub>I. Johnson M. A., Allison J., Zare R. N. «J. Chem. Phys.», 1986, 85, № 10, 5723—5732 (англ.). Место хранения ГПНТБ СССР

(Do)

Выполнен анализ спектра лазерно-индуцированной флуоресценции молекул BaJ, возникающих при взаимодействии пучка атомов Ba с газовой мишенью из CF<sub>3</sub>J, (давление 5·10<sup>-4</sup> Торр, комн. т-ра). Средняя относительная поступательная энергия составляла 3±1 ккал/моль. Использовали термич. источники пучков с рабочей т-рой от 1000 до 1250 К. Обнаружена предиссоциация состояния BaJ(C) и определена энергия связи Ba—J составляющая 78,5±0,5 ккал/моль, что выше обычно принимаемой величины. Показано, что колебат. распределение BaJ имеет колоколообразную форму, что соответствует распределениям, полученным

X.1987, 19, № 20

в др. аналогичных р-циях. Максимум колебат. распределения соответствует энергии 19,9 ккал/моль и указывает на колебат. возбуждение как основной канал расходования энергии системы; на возбуждение вращательных состояний расходуется ~5 ккал/моль.

Л. Ю. Русин

BaI

1986

BaI<sub>2</sub>

Васиков П. П.

Томск И. С., к. г.

Матер. структуры и  
исп? молекул. Иваново,  
1986, 125 - 132.

(см. BaBr; III)

Баз(2)

1986

Балков П.П., Гончар И.Л.,  
Краснов К.С.,

Исследование структуры и  
энергетики стекла.

студенческий сборник научно-  
исследований Угличского тех-  
нического института, Углич, 1986,

125-132 (есть в картотеке)

Ba<sup>g</sup>

(OM 30505)

1988

Ravis S. L.,

MEOPERIN.  
DECERIN

J. Chem. Phys. 1988, 89,  
N.3, 1656-1663.

Model polarizabilities and  
multipoles for ionic com-  
pounds. • Alkaline-earth

*Mitrophorcioides.*

Bad

1989

Bernath P.,

M.H. High Resolut. Fourier Trans-  
form Spectrosc: Sum, Pap.  
High Resolut. Fourier Trans-  
form Spectrosc. Top Meet.  
Santa Fe, N.M., Feb 13-15,  
1989 —

Washington (D.C.), 1989, C. 92-93

(all. file; III)

Ba.Y

(M. 32114)

1989

Törring T., Ernst W.E.,

M., Kändler J.,

meopem. J. Chem. Phys., 1989, 90(9),  
parcien 4927 - 4932.

Energies and electric di-  
pole moments of the low

lying electronic states of the  
alkaline earth monohalides  
from an electrostatic pola-  
rization model.

Бау

01.35

822

1990

- 1 Б1262. Лазерная спектроскопия пересекающихся молекулярных пучков: определение энергии диссоциации BaI из измерений баланса энергии. Laser spectroscopy of crossed molecular beams: The dissociation energy of BaI from energy-balance measurements / Vaccaro P. H., Zhao D., Tsekouras A. A., Leach C. A., Ernst W. E., Zare R. N // J. Chem. Phys.— 1990.— 93, № 12.— С. 8544—8556.— Англ.

В пересекающихся молек. пучках исследована р-ция  $Ba(^1S_0) + HI(X^1\Sigma^+) \rightarrow BaI(X^2\Sigma^+) + H(^2S_{1/2})$ . На основе детального изучения процессов переноса энергии определен нижний предел энергии диссоциации BaI:  $D_0^0(BaI) \geq 76,8 \pm 1,7$  ккал/моль или  $3,33 \pm 0,07$  эВ. Сопоставляя эту величину с верхним пределом, определенным по исследованиям преддиссоциации и равным  $D_0^0(BaI) \leq 78,5 \pm 0,5$  ккал/моль, рекомендуется след. значение энергии диссоциации:  $77,7 \pm 2,0$  ккал/моль ( $3,37 \pm 0,09$  эВ). Данная величина на 5 ккал/моль больше  $D_0^0(BaI)$ , определенной из масс-спектрометрич. измерений.

Е. А. Пазюк

X.1992, № 1

BaI

OM. 35822

1990

114: 150545t Laser spectroscopy of crossed molecular beams: the dissociation energy of barium iodide (BaI) from energy-balance measurements. Vaccaro, P. H.; Zhao, D.; Tsekouras, A. A.; Leach, C. A.; Ernst, W. E.; Zare, R. N. (Dep. Chem., Stanford Univ., Stanford, CA 94305-5080 USA). *J. Chem. Phys.* 1990, 93(12), 8544-56 (Eng). Through application of energy-balance arguments to the crossed-beam reaction  $\text{Ba}({}^1\text{S}_0) + \text{HI}({}^1\text{X}\Sigma^+) \rightarrow \text{BaI}({}^2\text{X}\Sigma^+) + \text{H}({}^2\text{S}_{1/2})$ , a lower limit for the BaI bond dissociation energy is detd. to be  $D(\text{BaI}) \gtrsim 76.8 \pm 1.7 \text{ kcal/mol}$  ( $3.33 \pm 0.07 \text{ eV}$ ). Based on the upper bound of  $D(\text{BaI}) \lesssim 78.5 \pm 0.5 \text{ kcal/mol}$ , as detd. from earlier predissocn. studies (M. A. Johnson et al., (1986), we recommend a BaI bond strength of  $77.7 \pm 2.0 \text{ kcal/mol}$  ( $3.37 \pm 0.09 \text{ eV}$ ). This dissociation energy is more than 5 kcal/mol higher than the previously accepted value of  $D(\text{BaI})$  as derived from mass spectrometric measurements.

Do

C.A.1991, 114, N16

Бад

1991

ЗБ1132. Исправление в статье «Сверхтонкая структура состояний  $X^2\Sigma^+ C^2\Pi_{\text{BaI}}$  (J. Chem. Phys. .—1986.—85.—с. 3735).». Erratum: Hyperfine structure of the BaI  $X^2\Sigma^+$  and  $C^2\Pi$  states [J. Chem. Phys. 85, 3735 (1986)] /Leach C. A., Ernst W. E., Kandler J., Noda C., McKillop J. S., Zare R. N. //J. Chem. Phys. .—1991.—95, № 12.—с. 9433.—Англ.

Авторами несколько изменена процедура анализа данных по СТС оптич. переходов молекулы BaI и рассчитан следующий новый набор параметров для состояния  $C^2\Pi$  ( $v=0$ ) (в МГц):  $a=259 \pm 30$ ,  $b+c=-256 \pm 59$ ,  $d=-132 \pm 2$  и  $eQ_q=-217 \pm 7$ . При этом отмечается, что основные выводы о характере связи в молекуле не изменились. Исправлены ур-ния (4), (15) и (17), на обратное направление изменена квантовая нумерация по  $F''$  в указанной статье.

В. М. Ковба

Х. 1994, № 3

BaJ

1991

114: 1953260 Rotational analysis of the barium moniodide C<sup>2</sup>Π-X<sup>2</sup>Σ<sup>+</sup> (8,8) band. Leach, Christine A.; Waldeck, Janet R.; Noda, Chifuru; McKillop, John S.; Zare, Richard N. (Dep. Chem., Stanford Univ., Stanford, CA 94305 USA). *J. Mol. Spectrosc.* 1991, 146(2), 465-92 (Eng). The BaI C<sup>2</sup>Π-X<sup>2</sup>Σ<sup>+</sup> (8,8) band was measured and rotationally assigned using techniques of population-labeling optical-optical double resonance (PLOODR) and selectively detected laser-induced fluorescence (SDLIF). A weighted nonlinear least-squares fit was carried out to model the positions of S91 transitions, with  $J''$  ranging from 13.5 to 271.5, to a <sup>2</sup>Π-<sup>2</sup>Σ<sup>+</sup> Hamiltonian which has 10 spectroscopic consts. Despite the fact that most of this data is from 6 out of the possible 12 rotational branches and is biased in favor of the C<sup>2</sup>Π<sub>1/2</sub>-X<sup>2</sup>Σ<sup>+</sup> subband one is able to assign  $J''$  quantum nos. unambiguously for all the obsd. transitions as well as derive the principal spectroscopic consts. of the BaI C<sup>2</sup>Π and X<sup>2</sup>Σ<sup>+</sup> states for the (8,8) band.

C<sup>2</sup>Π-X<sup>2</sup>Σ

114: 1953260

M. A.

c. A.: 1991, 114, n. 20

Ba<sup>g</sup>

1991

C<sup>2</sup>Π - X<sup>2</sup>Σ

M.N.

115: 59956n Analysis of barium monoiodide (BaI) C<sup>2</sup>Π-X<sup>2</sup>Σ<sup>+</sup> (0, 0) band for high rotational levels. Zhao, D.; Vaccaro, P. H.; Tsekouras, A. A.; Leach, C. A.; Zare, R. N. (Dep. Chem., Stanford Univ., Stanford, CA 94305 USA). J. Mol. Spectrosc. 1991, 148(1), 226-42 (Eng). Using laser-induced fluorescence, rotationally resolved spectra of the BaI C<sup>2</sup>Π-X<sup>2</sup>Σ<sup>+</sup> (0, 0) band were obtd. for  $J''$  values from 339.5 to 436.5 in the  $P_{11}$  and 124.5 to 370.5 in the  $R_{21}$  branches. The BaI molns. are formed from the reaction of Ba and HI. These new data have been combined with lower  $J''$  lines ( $J'' < 156.5$ ) previously measured. All the high  $J''$  lines were unambiguously assigned, although lines in the  $P_{11}$  branch between  $J''$  values of 156.5 and 338.5 were not obtd. A rotational anal. was carried out by performing a nonlinear least-squares fit to the eigenvalue differences of the model Hamiltonians for the upper and lower states. In addn., a further least-squares fit was carried out including all the (0, 0) band data and the six X<sup>2</sup>Σ<sup>+</sup>  $v = 0$  microwave rotational transitions. Six out of the twelve rotational branches form blue-shaded bandheads at  $J''$  well over 400. These bandheads are caused by the difference between the centrifugal distortion consts.  $D'$  and  $D''$ . The model Hamiltonians are able to describe the transitions, although the highest rotational energy (about 6300 cm<sup>-1</sup>) is much larger than the energy sepn. of the vibrational levels (about 150 cm<sup>-1</sup>).

C.A. 1991, 115, N6

BaJ

№ 37390

1992

7 4 Б3036. Энергии диссоциации BaI и CaI, полученные из исследований равновесий. Dissociation energies of BaI and CaI from equilibrium studies /Hildenbrand D. L., Lau K. H. //J. Chem. Phys.—1992.—96, № 5.—С. 3830—3833.—Англ.

Масс-спектрометрическим методом исследованы газ. равновесие диссоциации  $BaI = Ba + I$  и изомолек. обменные р-ции BaI и CaI с ScI в широком интервале т-р. Анализ результатов измерений по второму закону привел к значениям энергии диссоциации  $D_0^0 (BaI) = 76,2 \pm 1,5$  ккал/моль и  $D_0^0 (CaI) = 67,0 \pm 2$  ккал/моль. Проведено сравнение со значениями  $D_0^0 (BaI)$  и  $D_0^0 (CaI)$ , полученными ранее, и обсуждены возможные причины имеющихся расхождений.

В. Ф. Байбуз

Do



4

X. 1993, N 4

BaI

Am. 37390

1992

116: 182583m Dissociation energies of barium iodide and calcium iodide (BaI and CaI) from equilibrium studies. Hildenbrand, D. L.; Lau, K. H. (SRI Int., Menlo Park, CA 94025 USA). *J. Chem. Phys.* 1992, 96(5), 3830-3 (Eng). Effusion-beam mass spectrometry was used to study the gaseous dissociation equil. BaI = Ba + I and the isomol. exchange reactions of BaI and CaI with ScI over wide temp. ranges; and the thermochem. data were derived from second law anal. The results yielded the dissociation energies  $D_0^\circ(\text{BaI}) = 76.2 \pm 1.5 \text{ kcal/mol}$  and  $D_0^\circ(\text{CaI}) = 67.0 \pm 2 \text{ kcal/mol}$ . Both of these values are about 5 kcal mol<sup>-1</sup> larger than previous results obtained in this lab. from third law anal. of other reactions. Reasons for the disparities are discussed. Our new second result for BaI is in good agreement with a recent value obtained from crossed mol. beam studies.

90



(i)

CaI



C.A. 1992, 116, N 18

баз

1992

7 Б1187. Вращательный анализ полос системы  $C^2\Pi - X^2\Sigma^+$   $Bal$  для прогрессии с  $\Delta v = 0$  ( $v \leq 12$ ). Rotational Analysis of the  $Bal$   $C^2\Pi - X^2\Sigma^+$  Band System for the  $\Delta v = 0$  progression ( $v \leq 12$ ) /Leach Christine A., Tsekouras Athanassios A., Zare Richard N. //J. Mol. Spectrosc. .—1992.—153, № 1—2.—С. 59—72.—Англ.

С помощью лазерно-индуцированной спектроскопии ФЛ с селективным детектированием зарегистрированы с высоким разрешением  $R_{12-}$ ,  $R_{1-}$ ,  $R_{2-}$  и  $R_{21-}$ -ветви полос системы  $C^2\Pi - X^2\Sigma^+ Bal$  с  $v=0, 1, 4, 8$  и  $12$ . Кроме того получены переходы с участием уровней с высокими значениями  $J''$  в  $R_{12-}$  и  $R_{2-}$ -ветвях ( $0,0$ )-, ( $1,1$ )-, ( $2,2$ )- и ( $3,3$ )-полос и вблизи кантов  $R_{1-}$ ,  $Q_{12-}$ ,  $R_{21-}$  и  $Q_2$ -ветвей ( $0,0$ )-полосы. На основании этих данных, используя информацию, имеющуюся в лит-ре, взвешенным нелинейным МНК определены молек. постоянные для  $C^2\Pi$ - и  $X^2\Sigma^+$ -состояний. Полученный набор из 31 константы позволил воспроизвести положения 5032 оптич. переходов с точностью  $2,4 \cdot 10^{-9} \text{ см}^{-1}$ . Для исследуемых переходов не наблюдалось каких-либо возмущений в положениях уровней.

Е. А. Пазюк

М.Н.

3742477

0M

Х.1994, № 7

Ba.I

Om. 37277

1992

116: 224066c Rotational analysis of the barium iodide (Ba I) C<sup>2</sup>I<sup>-</sup>X<sup>2</sup>Σ<sup>+</sup> band system for the Δv = 0 progression (v ≤ 12). Leach, Christine A.; Tsokouras, Athanassios A.; Zare, Richard N. (Dep. Chem., Stanford Univ., Stanford, CA 94305 USA). *J. Mol. Spectrosc.* 1992, 153(1-2), 59-72 (Eng). High-resoln. spectra of the P<sub>1z</sub>, R<sub>1z</sub>, P<sub>2z</sub>, and R<sub>2z</sub>-branch members of the Ba I C<sup>2</sup>I<sup>-</sup>X<sup>2</sup>Σ<sup>+</sup> (v, v) bands with v = 0, 1, 4, 8, and 12 were recorded using selectively detected laser-induced fluorescence (SDLIF). In addn., transitions involving high J" levels were obtd. by undispersed fluorescence in the P<sub>1z</sub> and P<sub>2</sub> branches of the (0, 0), (1, 1), (2, 2), and (3, 3) bands, and near the bandheads in the P<sub>1</sub>, Q<sub>1z</sub>, P<sub>2z</sub>, and Q<sub>2</sub> branches of the (0, 0) band. These data are combined with earlier optical measurements of the same electronic band system by M. A. Johnson et al. (1984), C. A. Leach et al., and D. Zhao et al. (1991) and with microwave measurements of low J" levels for v = 0-5 to the X<sup>2</sup>Σ<sup>+</sup> state by T. Torring and K. Dobl (1985). Spectroscopic consta. are obtained for the C<sup>2</sup>I<sup>-</sup> and X<sup>2</sup>Σ<sup>+</sup> states using a weighted nonlinear least-squares fit to the optical and microwave transition wavenumbers, and bandhead positions for v ≤ 12. The present set of 31 consta. reproduces the positions of 6032 optical transitions with a std. deviation of 2.4 × 10<sup>-3</sup> cm<sup>-1</sup>. No frequency perturbations are obtd. in the data.

(27-X2Σ<sup>+</sup>)

C.A. 1992, 116, N 22

Ba<sup>y</sup>

(OM-40935)

1999

Butterres R.F., Verge's J.  
et al.,

M.N.

γ. Mol. Spectrosc., 1999,  
196, 29-44.

The Ba<sup>y</sup> X<sup>2</sup>Σ<sup>+</sup>  
Electronic



and  $\beta^2\Sigma^+$   
states through

$B^2\Sigma^+$  -  $X^2\Sigma^+$  and  $C_2^17$  -  $X^2\Sigma^+$   
Band Systems Analysis.

*1999*

F: BaI

P: 3

131:122380 The BaI X2.SIGMA.+ and B2.SIGMA.+ Electronic States Through B2.SIGMA.+-X2.SIGMA.+ and C2.PI.-X2.SIGMA.+ Band Systems Analysis. Gutterres, R. F.; Verges, J.; Amiot, C. (Laboratoire Aime Cotton, C.N.R. II, Universite Paris Sud, Orsay 91405, Fr.). J. Mol. Spectrosc., 196(1), (English) 1999 The near-IR spectrum of the B2.SIGMA.+-X2.SIGMA.+ band system of the BaI mol., obtained from the chemiluminescent reaction Ba + I<sub>2</sub> and also by las induced fluorescence (LIF), was recorded by using Fourier transform spect (FTS). The

*C.H. 1999, 131*

LIF spectra were obtained by using a Ti:sapphire single-mode excitation. Resolved rotational data, originating from 32 vibrational  $l \leq .ltoreq. v .ltoreq. 31$  in the X2.SIGMA.+ state and from 24 vibrational  $l (0 \leq .ltoreq. v \leq 19)$ , and  $v = 21, 22, 23, 26$  in the B2.SIGMA.+ state used in the final anal. Previously recorded data for the C2.PI.-X2.SIGMA system (with  $\Delta.v = 0$ ), taken from C. A. Leach, A. A. Tsekouras, and Zare, J. Mol. Spectrosc. 153, 59-72(1992), were added to the present work field. Accurate and improved mol. consts. for the X2.SIGMA.+, B2.SIGMA.+ C2.PI. states were derived from a simultaneous treatment of the whole dat systems anal.

F: BaI

P: 3

of. 40996

2000

132:228919 High-Resolution Study of the BaI  
A2.PI. Electronic State. Gutterres, R. F.;  
Verges, J.; Amiot, C. Laboratoire Aime Cotton,  
Universite Paris-Sud Orsay 91405, Fr. J.  
Mol. Spectrosc., 200(2), 253-260 (English) 2000  
Near-IR and visible spectra of the A2.PI.-  
X2.SIGMA.+ , C2.PI.1/2- A2.PI.1/2, C2.PI.1/2-  
B2.SIGMA.+ , and C2.PI.1/2-X2.SIGMA.+ band systems  
of BaI mol. were recorded by using Fourier  
transform spectroscopy (FTS). Th. spectra were  
produced from the chemiluminescent reaction Ba + I<sub>2</sub>  
and also using laser-induced fluorescence (LIF)  
technique in which the laser sourc were a  
Ti:sapphire single-mode laser, a dye single-mode  
laser, and a Kr+ multimode ion laser. Resolved  
rotational data, originating from 19 vibrational

C.A.2000, 132

levels (0 .ltoreq. v .ltoreq. 5 and 7 .ltoreq. v .ltoreq. 19) the A2.PI. state, 24 vibrational levels (0 .ltoreq. v .ltoreq. 18 and 20 .ltoreq. v .ltoreq. 24) of the X2.SIGMA.+ state, and 8 vibrational levels .ltoreq. v .ltoreq. 2 and 9 .ltoreq. v .ltoreq. 14) of the C2.PI. state, used in the final anal. Previously recorded data for the E2.SIGMA.+- X2.SIGMA.+ and C2.PI.-X2.SIGMA.+ systems, taken from R. F. Gutterres, J. Verges, and C. Amiot, J. Mol. spectrosc. 196, 29-44(1999) and from C. A. Leach, A. A. Tsekouras, and R. N. Zare, J. Mol. spectrosc. 153, 59-72(1999 were added to the present work data field. Accurate and improved mol. consts., for the X2.SIGMA.+ , B2.SIGMA.+ , A2.PI. , and C2.PI. states, were derived from a simultaneous treatment of the whole data set.

F: BaI

P: 3

133:23841 First Observation of the BaI A' 2.DELTA. Electronic State: The .OMEGA. = 3/2 Component. Gutterres, R. E.; Verges, J.; Amiot, C. Laboratoire Aime Cotton, Universite Paris Sud Orsay 91405, Fr. J. Mol. Spectrosc., 201(2), 326-327 (English) 2000 The spectroscopic studies of the A' 2.DELTA.3/2 electronic component of the barium iodide mol. are presented. The BaI mol. were produced in a he pipe oven from a mixt. of barium metal and BaI<sub>2</sub>. The excitation of the B mols. was done by laser radiation. The mol. consts. (energy level, excit level, quantum nos. and the values for the ground state) are provided wit high rotational resoln.

2000

C.A.2000, 134

Ba<sup>g</sup>

[Om. 40924?]

2000

Butteres R.F., Vergès J.,  
Amiot C.,

J. Mol. Spectrosc., 2000,  
201, 326 - 327.

First observation of the Ba<sup>g</sup>

A' 2D Electronic State :  
The  $\sigma = \pm \frac{1}{2}$  Component.



BaI

2000

135: 143960e Excited states of the BaI molecule. Raouafi, S.; Jungen, Ch. (Laboratoire Aime Cotton, Universite de Paris Sud, 91405 Orsay, Fr.). *Phys. Essays* 2000, 13(2-3), 272-279 (Eng), Physics Essays Publication. Variational R-matrix theory and generalized quantum defect theory were used to calc. the known 1st excited states of BaI and to predict the as yet unknown higher members of the Rydberg series of this mol. up to principal quantum nos.  $v \approx 9$ . The quantum defects of the Rydberg series of BaI, CaCl, BaF, and CaF are compared.

met. facut  
Boys. COCM.

C.A.2001,135,110

BaI

06.40310

2001

135: 113701d Fourier Transform Spectroscopy of the BaI Molecule: Simultaneous Analysis of Seven Electronic States Including the D<sup>2</sup>Σ<sup>+</sup> and the G<sup>2</sup>Σ<sup>+</sup> States. Gutterres, R. E.; Fellows, C. E.; Verges, J.; Amiot, C. (Laboratoire Aime Cotton, 91405 Orsay, Fr.). *J. Mol. Spectrosc.* 2001, 206(1), 62–72 (Eng), Academic Press. The BaI D<sup>2</sup>Σ<sup>+</sup> and G<sup>2</sup>Σ<sup>+</sup> electronic states were studied using laser-induced fluorescence (LIF) and Fourier transform spectroscopy (FTS). The LIF

D<sup>2</sup>Σ<sup>+</sup>, G<sup>2</sup>Σ<sup>+</sup>,

Laserflame

Checkup

M.H. X<sup>2</sup>Σ<sup>+</sup>, B<sup>2</sup>Σ<sup>+</sup>, A<sup>1</sup>Δ,  
A<sup>2</sup>Π, C<sup>2</sup>Π,

C.R. 2001, 135, N8 D<sup>2</sup>Σ<sup>+</sup>, G<sup>2</sup>Σ<sup>+</sup>

visible spectra were obtained by using the 2nd harmonic of the Ti:sapphire single-mode laser and the Ar<sup>+</sup> and Kr<sup>+</sup> multimode lasers as excitation sources. Previously recorded data, taken from C. A. Leach, A. A. Tsekouras, and R. N. Zare (1992, *J. Mol. Spectrosc.* 153, 59–72) and from R. F. Gutterres, J. Verges, and C. Amiot (1999, *J. Mol. Spectrosc.* 196, 29–44; 2000, *J. Mol. Spectrosc.* 200, 253–260; and 2000, *J. Mol. Spectrosc.* 201, 326–327) were combined with the present data. Accurate and improved mol. consts. for the X<sup>2</sup> $\Sigma^+$ , B<sup>2</sup> $\Sigma^+$ , A'<sup>2</sup> $\Delta$ , A<sup>2</sup> $\Pi$ , C<sup>2</sup> $\Pi$  and D<sup>2</sup> $\Sigma^+$  states and 16 term values of the G<sup>2</sup> $\Sigma^+$  state were derived from a simultaneous treatment of the whole data set (12,684 transitions) with a std. deviation of  $3.26 \times 10^{-3}$  cm<sup>-1</sup>. (c) 2001 Academic Press.